



Corso di Robotica 2

Pianificazione del moto tra ostacoli

Introduzione

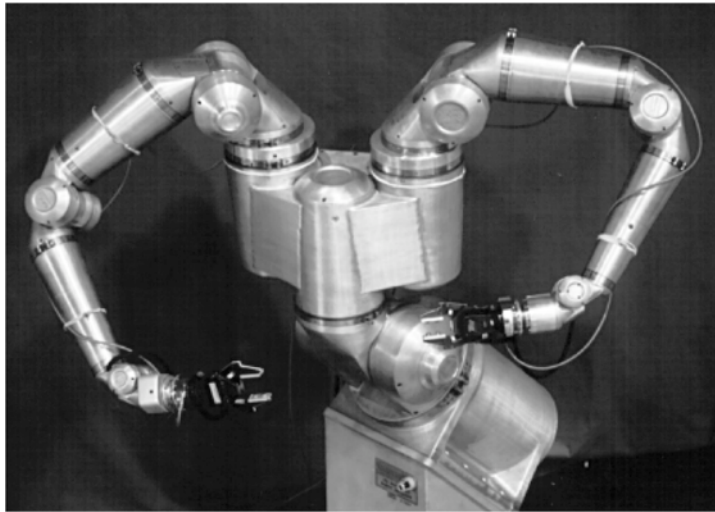
Prof. Alessandro De Luca

DIPARTIMENTO DI INFORMATICA
E SISTEMISTICA ANTONIO RUBERTI

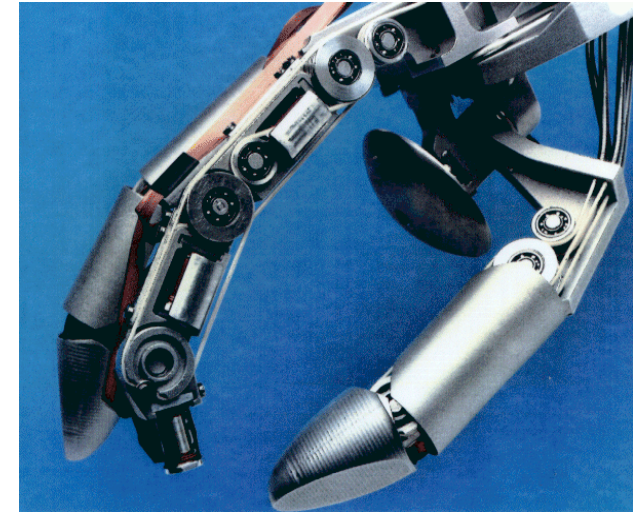


SAPIENZA
UNIVERSITÀ DI ROMA

Sistemi robotici



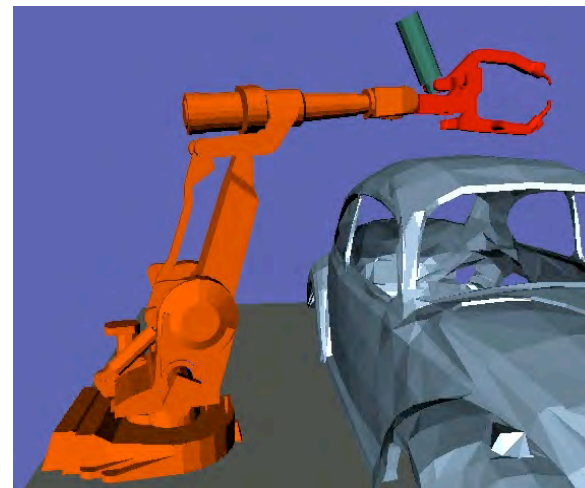
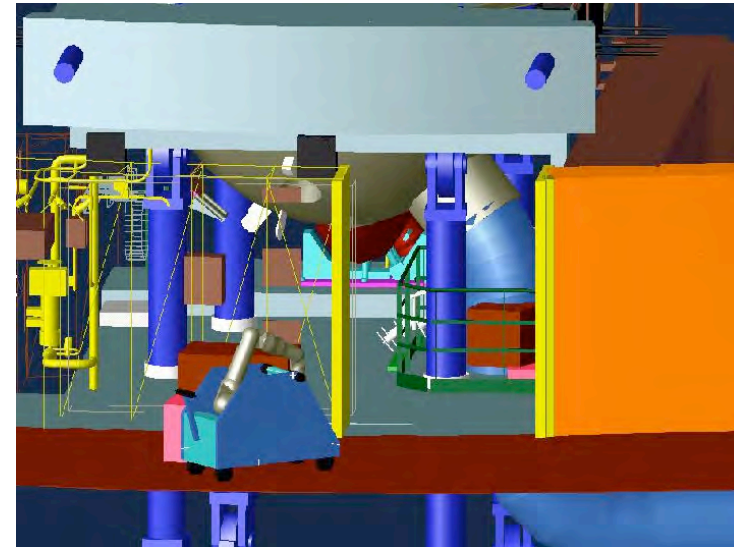
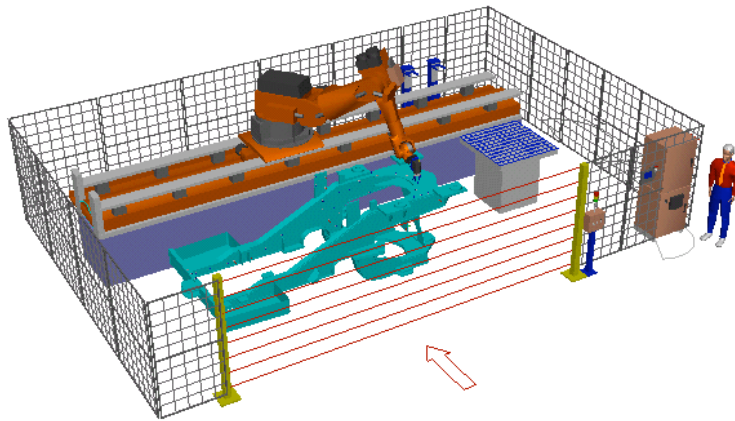
KB2017 Dual arm



UB Hand - II

- sistemi multi-articolati di corpi
 - comandati nello spazio delle configurazioni (giunti)
 - in azione nello spazio di lavoro (cartesiano)

Robot industriali in celle con ostacoli



Robot mobili in ambienti non strutturati



LAMA
robot



Hilare 2
robot





Esempi di applicazioni

- ambito industriale
 - programmazione robot
 - set up di cella robotizzata
 - progetto di "part feeders"
- progetto CAD di parti per lavorazione manifatturiera
- progetto del layout e intervento (servicing) su tubi, cavi, ...
- robotica mobile autonoma
 - esplorazione planetaria
 - sorveglianza
 - scouting di uso militare
- animazione grafica di "attori digitali" in video games, film,...
- immersione in ambienti virtuali
- pianificazione di operazioni chirurgiche robotizzate
- generazione di configurazioni e moti compatibili per complessi molecolari
 - docking
 - folding
- ...



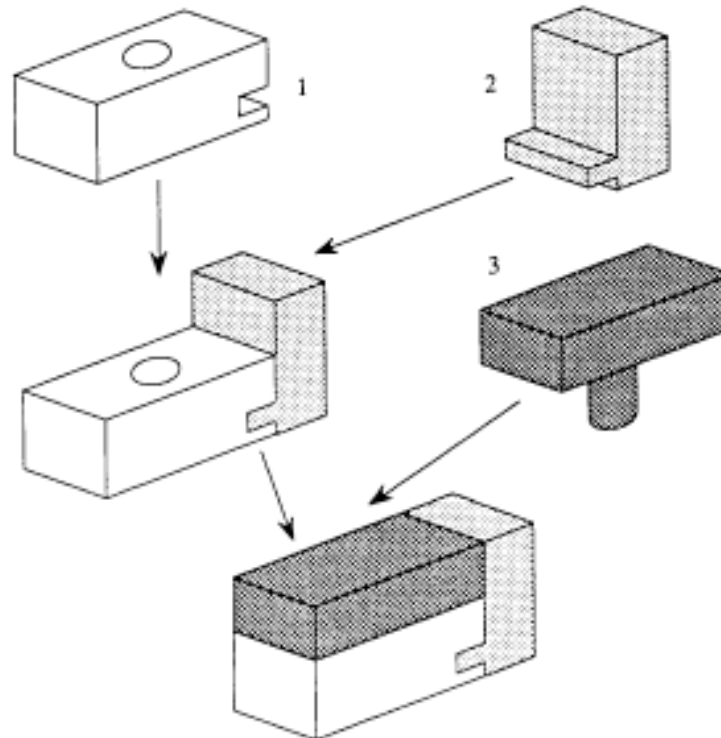
Obiettivi della pianificazione del moto

- determinare **strategie di moto...**
 - cammini geometrici
 - privi di collisioni
 - eventualmente, con contatti desiderati
 - traiettorie temporali
 - sequenze di comandi di moto sensor-based
- ...per realizzare **compiti di alto livello**
 - spostare il robot fino ad un goal senza collisioni
 - assemblare parti per ottenere un oggetto finale
 - costruire una mappa dell'ambiente
 - localizzare un target nell'ambiente



Assemblaggio

- disposizione iniziale e finale di oggetti
 - descrizione geometrica
- sequenza di relazioni spaziali
 - primitive di moto



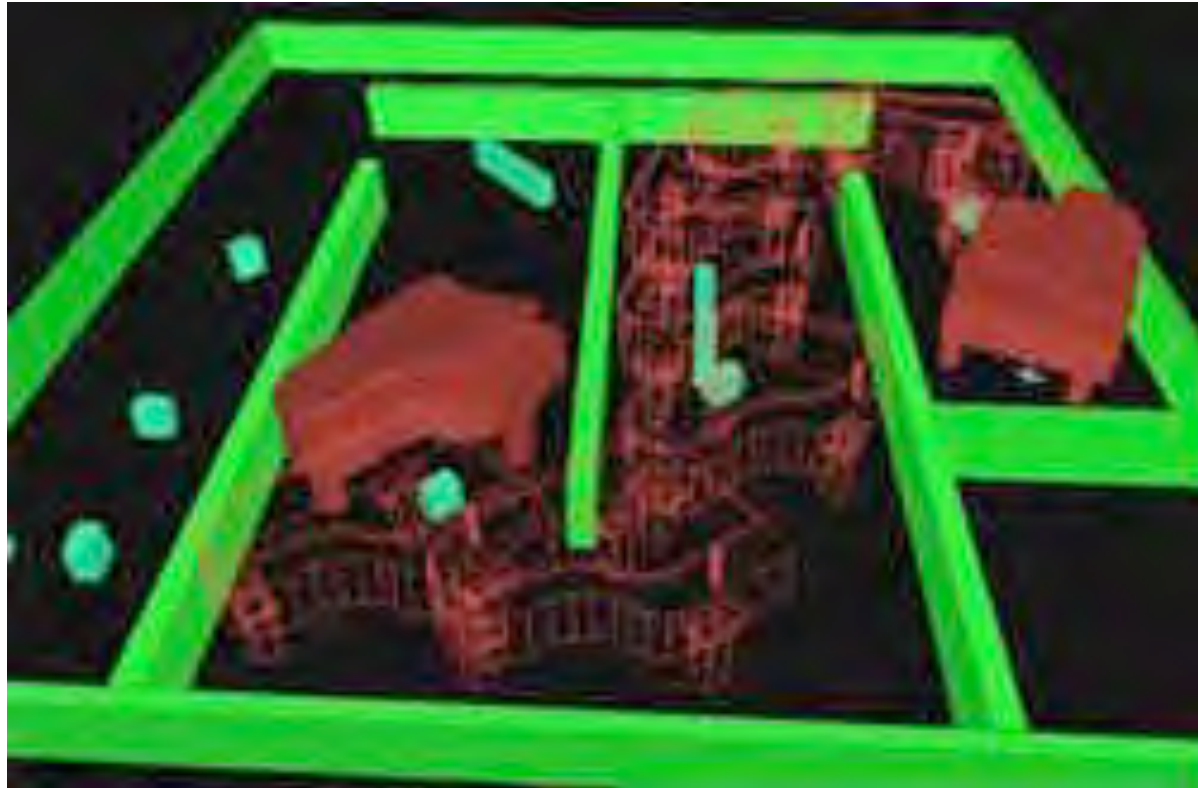
Problema generale di pianificazione



- determinare (se esiste) un **cammino privo di collisioni** per un oggetto rigido o articolato (il robot) tra ostacoli (statici o dinamici) nell'ambiente
- **input**
 - geometria del robot e degli ostacoli
 - cinematica del robot (gradi di libertà)
 - **configurazione** iniziale e finale del robot
- **output**
 - sequenza continua di configurazioni **ammissibili** che connette quella iniziale con quella finale



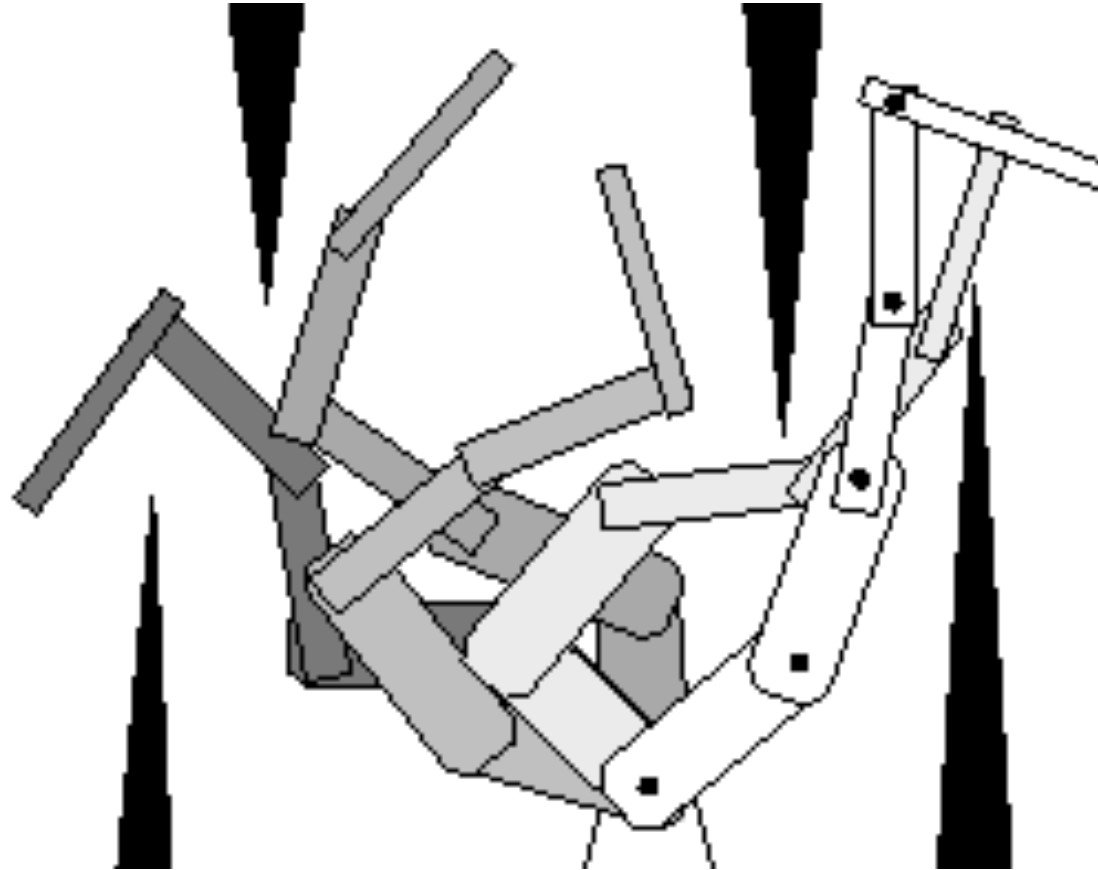
Problema del "piano mover"



singolo corpo rigido tridimensionale
(nella formulazione originale, da spostare senza alzare = in 2D)

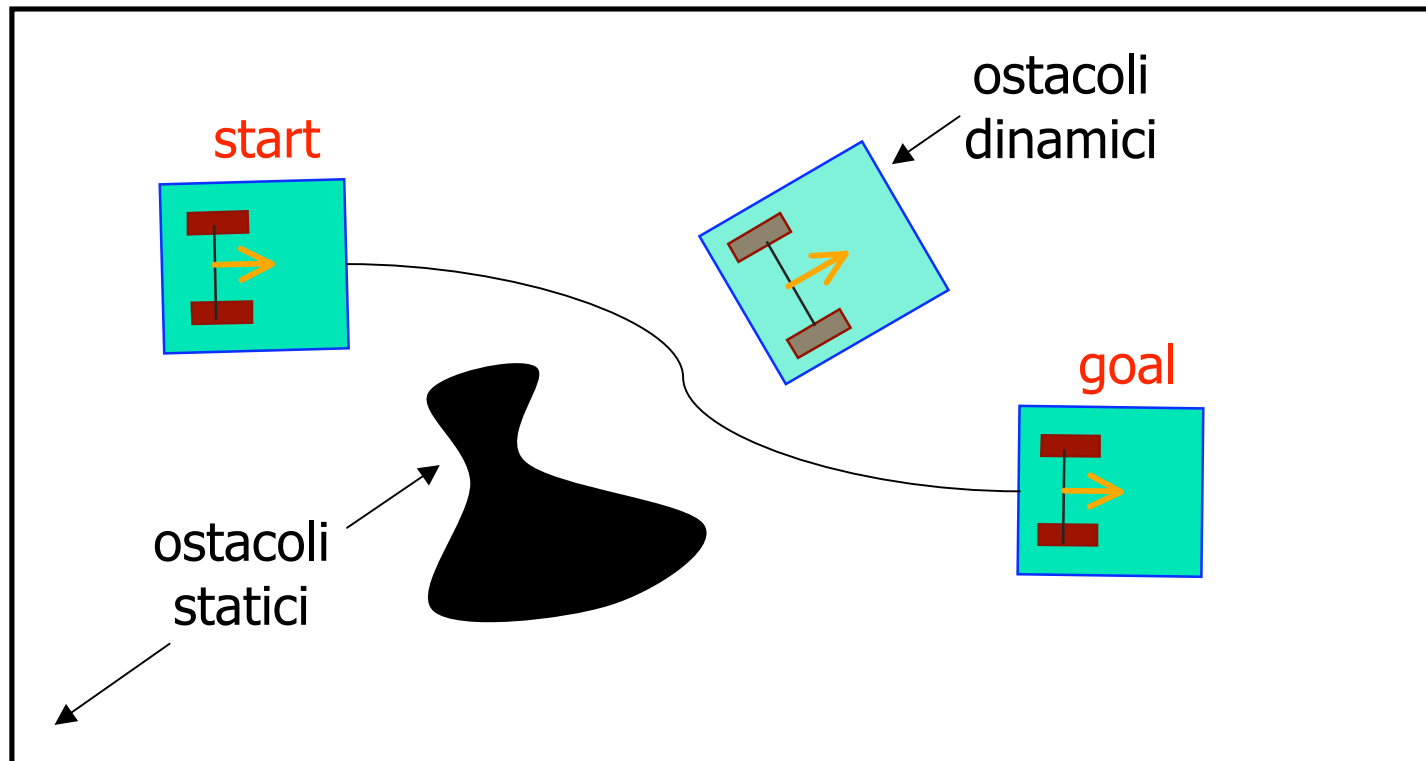


Robot articolati



corpo articolato con vari gradi di libertà (qui 5)

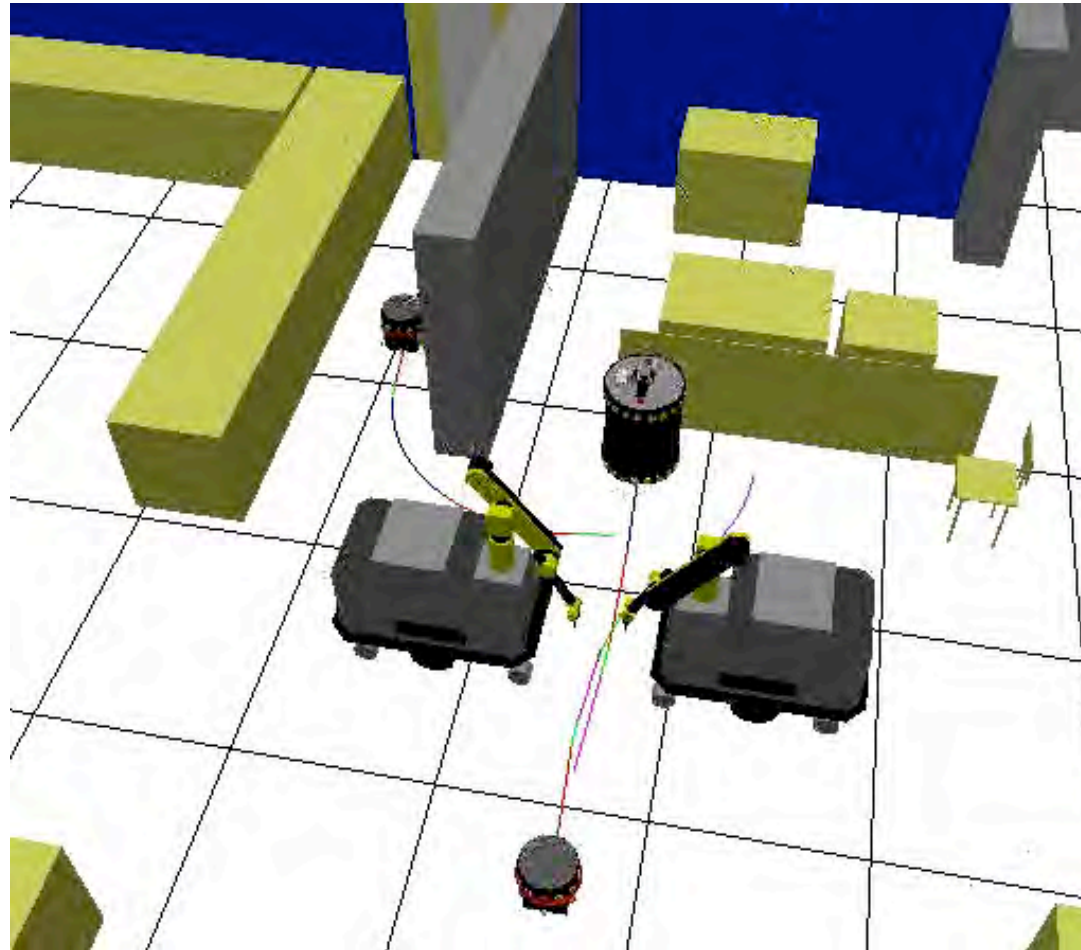
Robot mobili



singolo corpo con mobilità ristretta (WMR)
a causa dei vincoli anolonomi (puro rotolamento delle ruote)



Problemi multi-robot



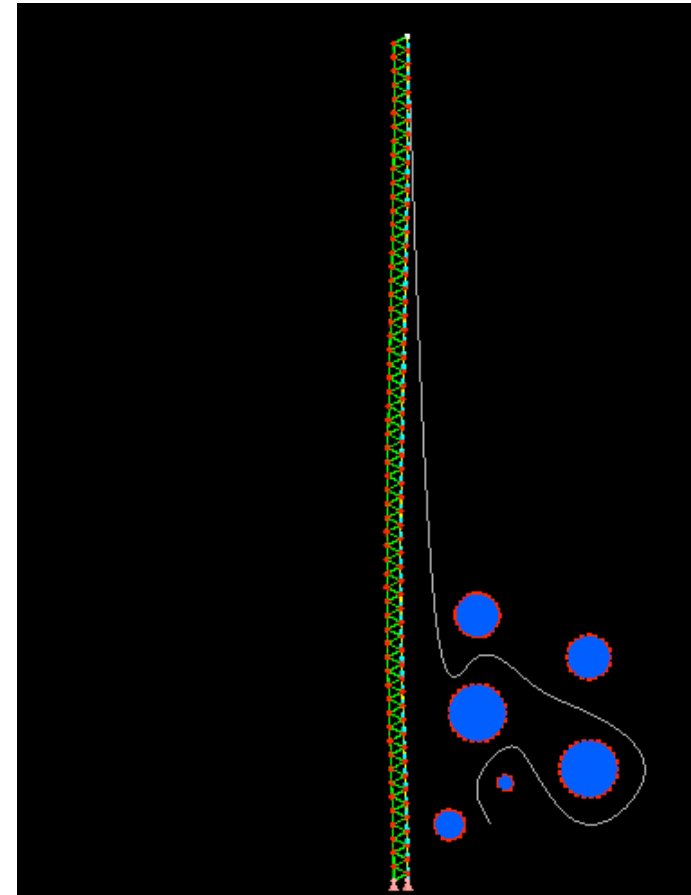
- 2 Pioneer
- 1 Nomad XR-400
- 2 Hilare con
manipolatore
a bordo

5 robot in moto simultaneo

Casi particolari di pianificazione



robot 3R sotto-attuato
(terzo giunto passivo)



robot iper-ridondante



Il problema base

Sia \mathcal{A} un singolo corpo rigido — il *robot* — immerso in uno spazio euclideo $\mathcal{W} \equiv \mathbb{R}^N$, con $N = 2$ o 3 , detto *spazio di lavoro*.

Siano $\mathcal{B}_1, \dots, \mathcal{B}_q$ gli *ostacoli*, cioè oggetti rigidi fissi in \mathcal{W} .

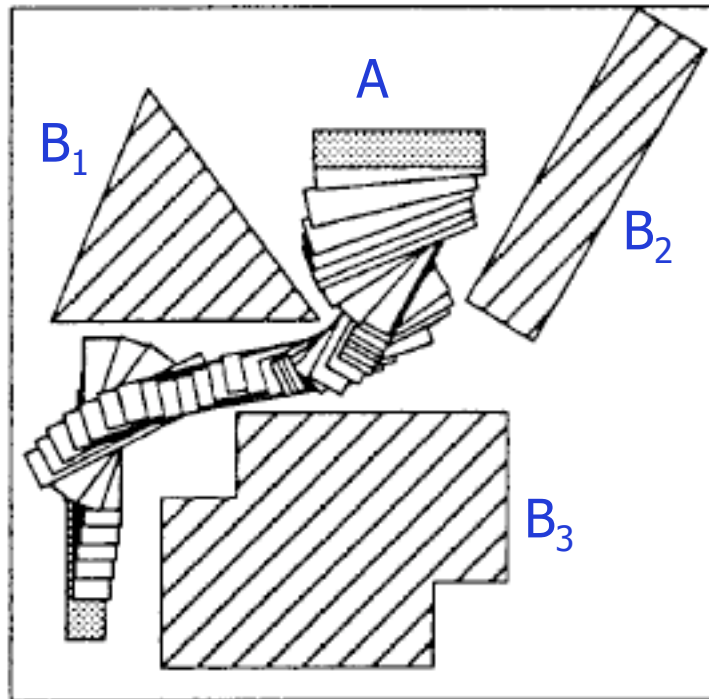
Si assuma che tanto la geometria di $\mathcal{A}, \mathcal{B}_1, \dots, \mathcal{B}_q$ quanto la locazione di $\mathcal{B}_1, \dots, \mathcal{B}_q$ in \mathcal{W} siano note con esattezza. Inoltre, si faccia l'ipotesi che non esistano vincoli cinematici che limitano il moto di \mathcal{A} (diremo che \mathcal{A} è un oggetto *in moto libero*).

Il problema è: data una locazione iniziale e una locazione finale desiderata di \mathcal{A} in \mathcal{W} , si generi un *cammino* τ , cioè una sequenza continua di locazioni di \mathcal{A} , che porta dalla locazione iniziale a quella finale e che è privo di collisioni (o contatti) tra \mathcal{A} e gli ostacoli \mathcal{B}_i . Si segnali un fallimento se un tale cammino non esiste.

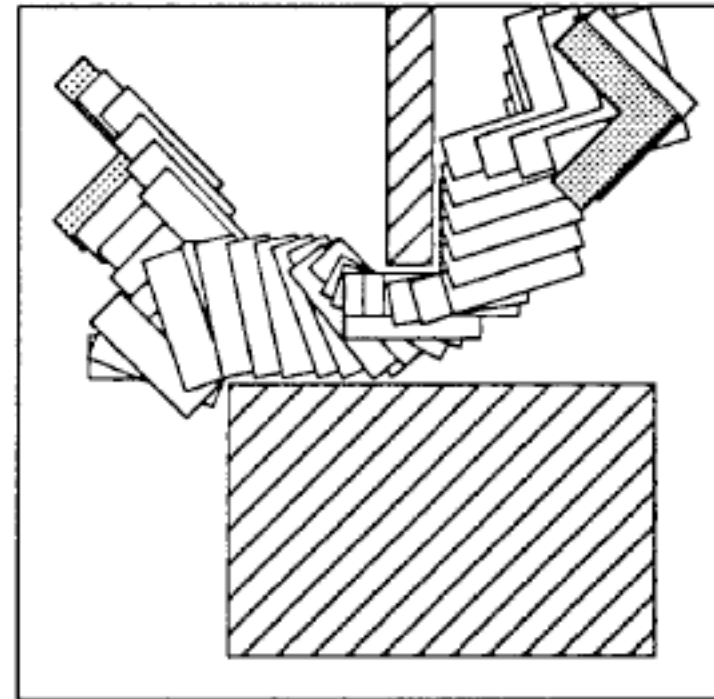
N.B. locazione = posa = posizione + orientamento



Due possibili istanze



robot A rettangolare
q=3 ostacoli



robot A L-shaped
q=2 ostacoli

spazio di lavoro $W = \mathbb{R}^2$



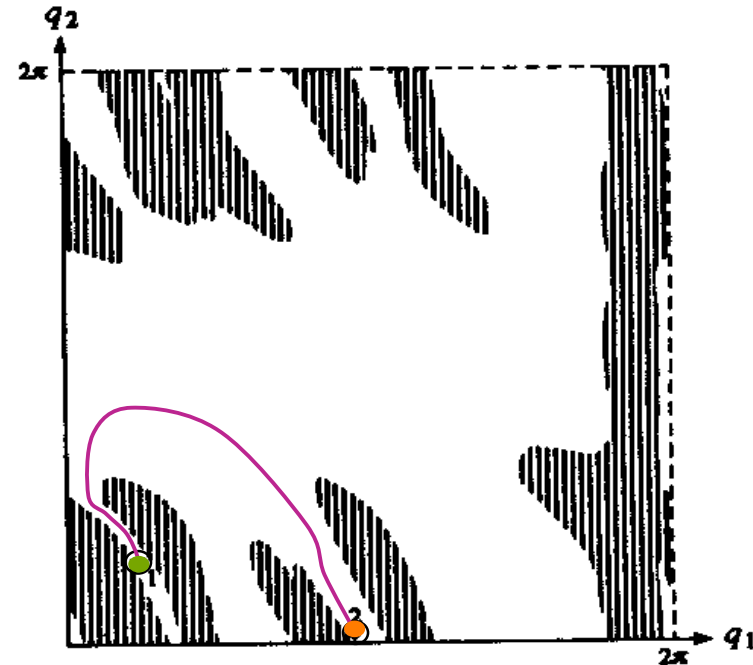
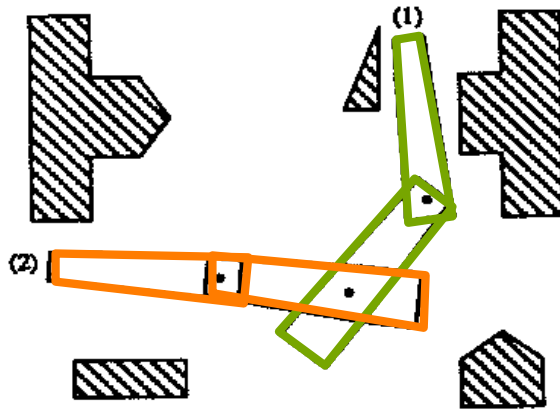
Estensioni al problema base

- ostacoli mobili
- robot multipli
- oggetti spostabili (assemblaggio)
- oggetti deformabili (limp materials)
- vincoli anolonomi
- vincoli dinamici
- vincoli di stabilità
- ...
- pianificazione ottima
 - diversi criteri
- informazioni da sensori
 - costruzione di mappa/modello
 - ricerca/inseguimento di oggetti
 - ispezione
- incertezze
 - nel modello
 - nell'esecuzione (controllo)
 - nella percezione sensoriale
- moti "sensorless"
- integrazione di pianificazione e controllo
- integrazione con task planning di alto livello
- ...

Spazio delle configurazioni (C-Space)



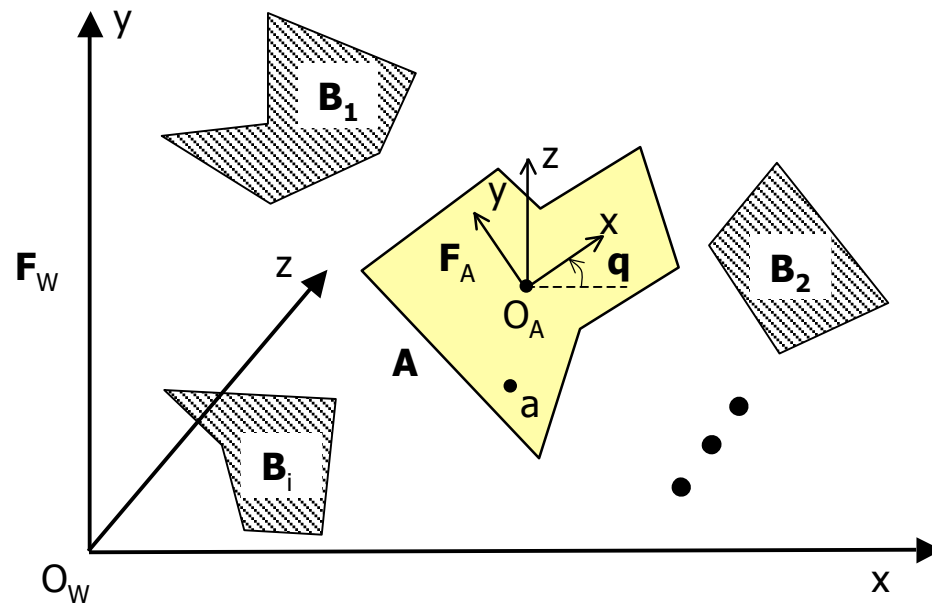
idea rappresentare il robot come un punto (configurazione del robot) in uno spazio opportuno (spazio delle configurazioni del robot o C-space) e determinare le 'immagini' degli ostacoli in questo spazio (C-ostacoli)



pianificazione del **cammino di un punto**



C-space di un corpo rigido



$W = \mathbb{R}^N$ spazio di lavoro ($N = 2,3$)
A oggetto mobile (robot)
 B_1, B_2, \dots, B_i oggetti rigidi fissi in W
 F_A terna (frame) mobile
($\rightarrow \text{pos}(a)|_{F_A} = \text{costante} = P_a$)
 F_W terna fissa (del mondo)
($\rightarrow \text{pos}(a)|_{F_W} = f(P_a, \text{pos}(O_A)|_{F_W})$)

(nessun vincolo cinematico
o dinamico sulla mobilità)

- una **configurazione** q di A : posizione e orientamento di F_A rispetto a F_W
- **spazio delle configurazioni** di A : lo spazio C di tutte le configurazioni di A
- $A(q)$ sottoinsieme (compatto) di W occupato da A nella configurazione q
- $a(q)$ posizione di un punto $a \in A$ in W , quando A è nella configurazione q



Rappresentazione di C

rappresentazione **parametrica** (minima) di una configurazione q in R^M

$$M = \dim C$$

posizione di O_A in F_W : **vettore in R^N**

orientamento di F_A
rispetto a F_W : **matrice di rotazione $N \times N$**

} $M = N(N+1)$ parametri
(**sovrabbondante!**)

$SO(N)$ = "Special Orthogonal Group": matrici $N \times N$, ortonormali, determinante +1

l'orientamento può però essere descritto in **modo minimale** da $N(N-1)/2$ parametri

$N = 2$ (rotazione 2D): 1 parametro (l'angolo di rotazione intorno all'asse normale al piano)

$N = 3$ (rotazione 3D): 3 parametri (ad es., angoli di Eulero)

una rappresentazione minimale però **non è iniettiva** (la stessa configurazione è rappresentata da differenti valori degli angoli)



Esempi di dimensioni di C

poligono in \mathbb{R}^2

$$C: \mathbb{R}^2 \times \text{SO}(2) \subset \mathbb{R}^6$$

$$\dim C = 2 + 1 = 3$$

poliedro in \mathbb{R}^3

$$C: \mathbb{R}^3 \times \text{SO}(3) \subset \mathbb{R}^{12}$$

$$\dim C = 3 + 3 = 6$$

manipolatore in \mathbb{R}^2
con M giunti

$$C \subset (\mathbb{R}^2 \times \text{SO}(2)) \times \dots \times (\mathbb{R}^2 \times \text{SO}(2)) \subset \mathbb{R}^{6M}$$

$$\begin{aligned} \dim C &= 3M - \# \text{vincoli imposti dai giunti} \\ &= 3M - 2M = M \end{aligned}$$

manipolatore in \mathbb{R}^3
con M giunti

$$C \subset (\mathbb{R}^3 \times \text{SO}(3)) \times \dots \times (\mathbb{R}^3 \times \text{SO}(3)) \subset \mathbb{R}^{12M}$$

$$\begin{aligned} \dim C &= 6M - \# \text{vincoli imposti dai giunti} \\ &= 6M - 5M = M \end{aligned}$$

robot mobile in \mathbb{R}^2
con 1 rimorchio

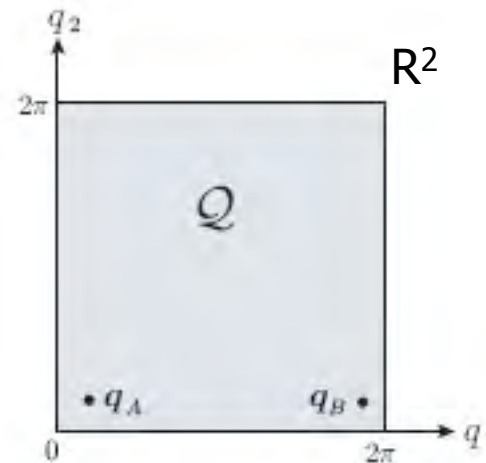
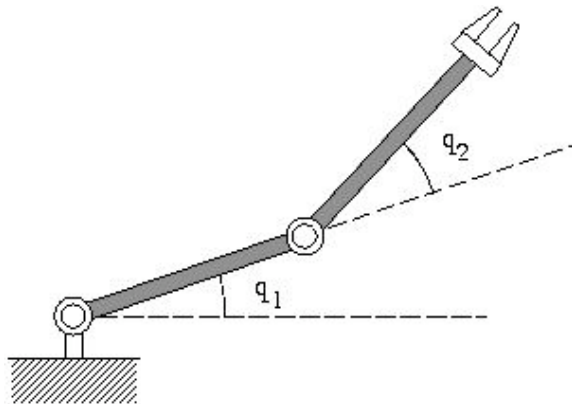
$$C \subset (\mathbb{R}^2 \times \text{SO}(2)) \times (\mathbb{R}^2 \times \text{SO}(2)) \subset \mathbb{R}^{12}$$

$$\begin{aligned} \dim C &= 6 - \# \text{vincoli imposti dall'aggancio} \\ &= 6 - 2 = 4 \end{aligned}$$

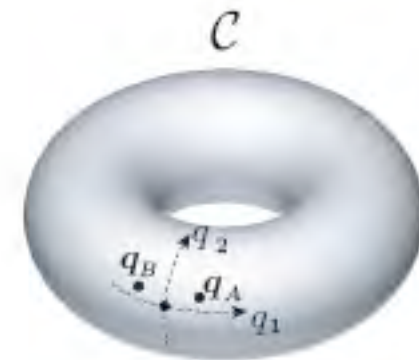


Località della rappresentazione

- rappresentare una configurazione come una **lista di M parametri reali** indipendenti corrisponde ad avere $C = \mathbb{R}^{(\dim C)}$
- questa rappresentazione ha però **validità solo locale**
- **esempio**: manipolatore planare 2R



è un "toro"
(varietà topologica)



rappresentazione locale

rappresentazione

$$C = \{(q_1, q_2) : q_1 \in [0, 2\pi), q_2 \in [0, 2\pi)\}$$

topologicamente corretta

corrispondenza biunivoca
solo locale



Metrica nel C-space

- per definire un cammino nel C-space è necessaria una nozione di **continuità**
- può essere introdotta specificando una **funzione distanza d** : $C \times C \rightarrow R$
- la distanza (≥ 0) tra due configurazioni q e q' deve andare **a zero** quando le regioni $A(q)$ e $A(q')$ occupate dal corpo **tendono a coincidere**
- ad esempio

$$d(q, q') = \max_{a \in A} \|a(q) - a(q')\|$$

- a fini algoritmici (locali), è meno oneroso usare

$$d_{\text{Eucl}}(q, q') = \|q - q'\|$$



Cammino in C

- un **cammino** in C da una configurazione q_{start} ad una q_{goal} è un'applicazione **continua**

$$\tau : [0,1] \rightarrow C$$

con $\tau(0) = q_{\text{init}}$, $\tau(1) = q_{\text{goal}}$

- se ogni coppia di configurazioni q_{start} e q_{goal} è connessa da un cammino $\rightarrow C$ è **connesso**
- A è in **moto libero** in W \Leftrightarrow in assenza di ostacoli, ogni cammino è **ammissibile**



C-ostacoli

- per definire un cammino privo di collisioni in C , occorre costruire le "immagini" degli ostacoli in C
- l'immagine in C di ogni ostacolo B_i in W è la regione

$$CB_i = \{q \in C \mid A(q) \cap B_i \neq \emptyset\} \quad \text{C-ostacolo}$$

$$CB = \bigcup_i CB_i \quad \text{regione dei C-ostacoli}$$

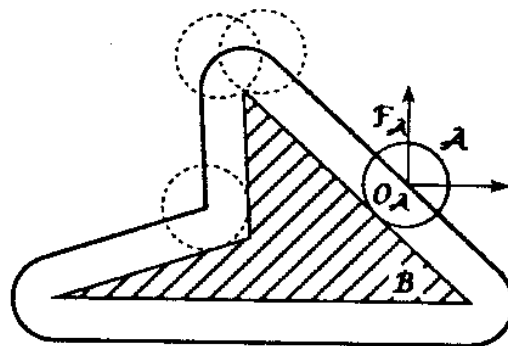
$$C_{\text{free}} = C \setminus CB = \{q \in C \mid A(q) \cap (\bigcup_i CB_i) \neq \emptyset\} \quad \text{spazio libero delle configurazioni}$$

- $q \in C_{\text{free}}$ è una **configurazione libera**
- un cammino interamente $\in C_{\text{free}}$ è un **cammino libero** (**semilibero** se $\in \text{closure}(C_{\text{free}})$)
- **problema base di pianificazione**: **generare** un cammino libero tra due date configurazioni q_{start} e q_{goal} se appartengono alla stessa componente connessa di C_{free} ; **altrimenti**, **riportare** un fallimento

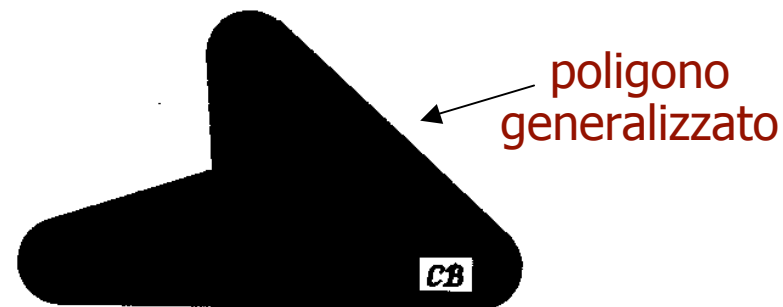


Esempi di C-ostacoli

- robot puntiforme in \mathbb{R}^N
 - C è una copia di W
 - C-ostacoli sono copie degli ostacoli in W
- robot sferico (disco in \mathbb{R}^2) o poliedrale (poligono in \mathbb{R}^2) a orientamento costante in \mathbb{R}^N
 - C è una copia di W
 - C-ostacoli sono ottenuti per accrescimento degli ostacoli in W con la "forma" del robot (scorre sull'ostacolo nell'orientamento fissato)



la frontiera è la curva
descritta dall'origine di F_A

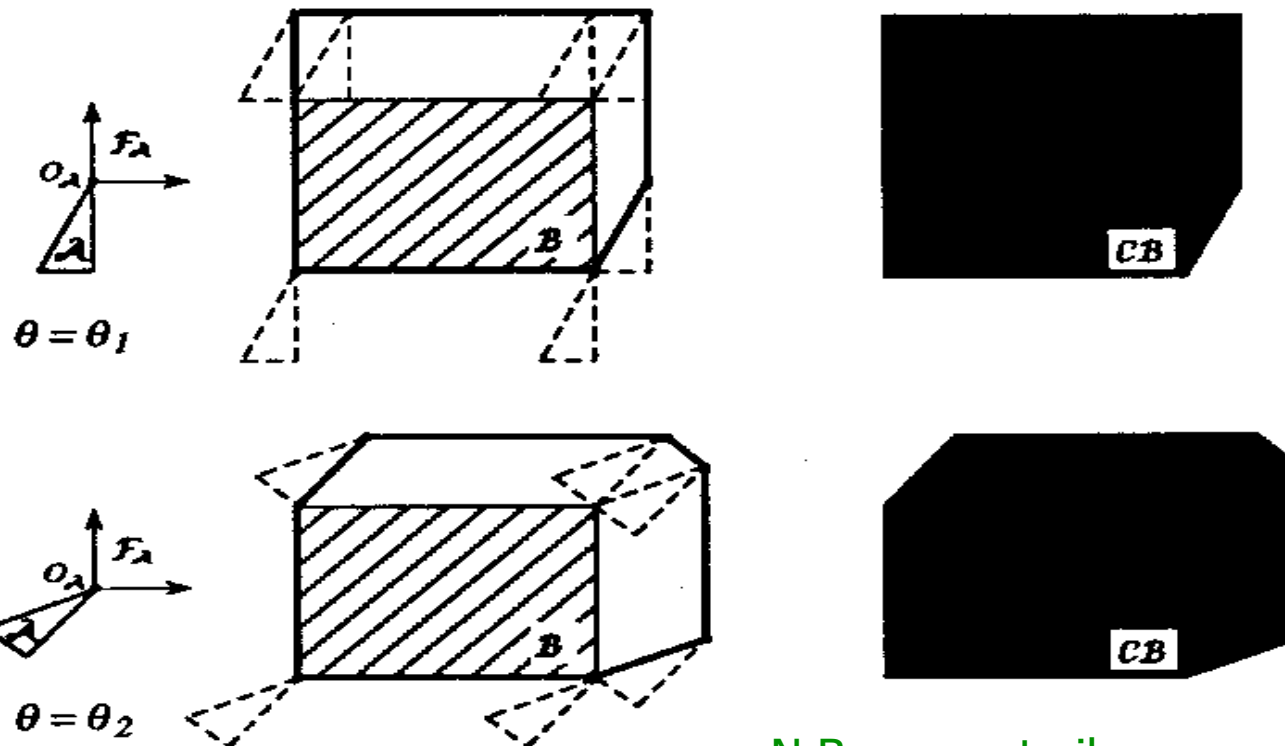


cambia con la posizione
di O_A in A ...



Esempi di C-ostacoli

... ma cambia anche con l'orientamento di A

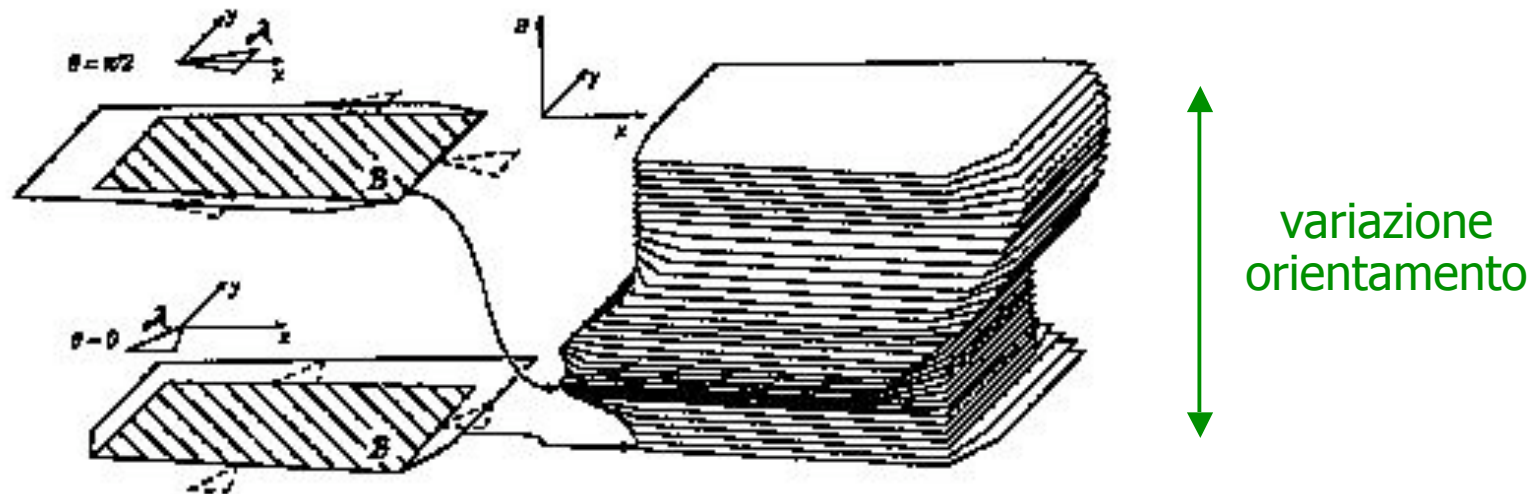


N.B. aumenta il numero di vertici!



Esempi di C-ostacoli

- robot **poligonale** libero di **traslare e ruotare** in \mathbb{R}^2
 - $C = \mathbb{R}^2 \times [0, 2\pi)$
 - C-ostacoli ottenuti per **accrescimento composito** (ripetuto per ogni valore dell'orientamento del robot)



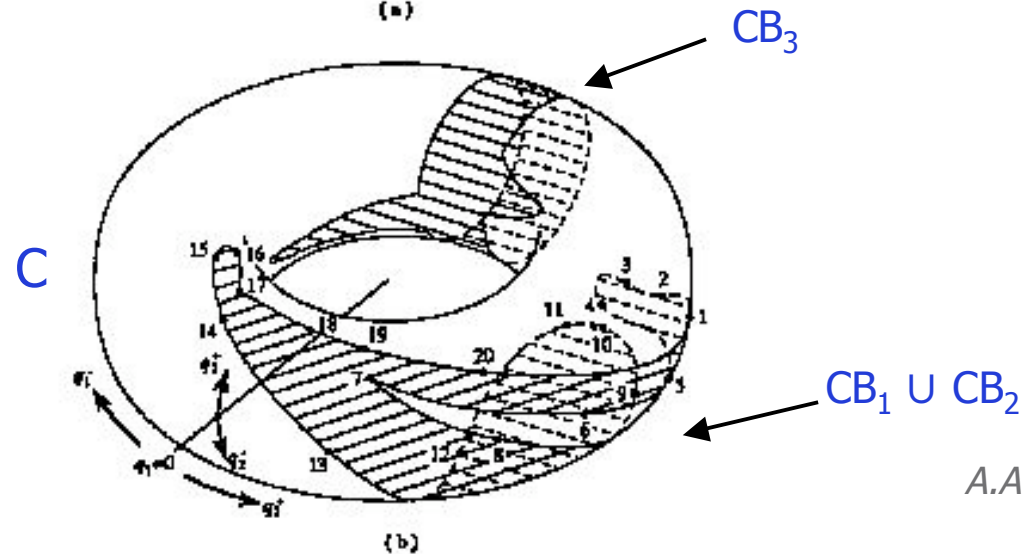
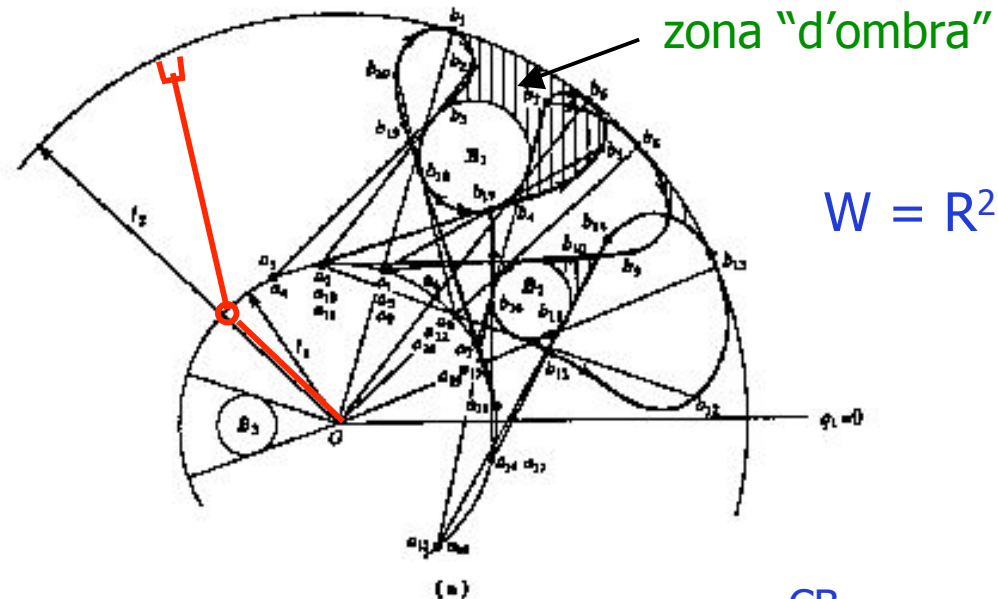


Esempi di C-ostacoli

- robot 2R planare

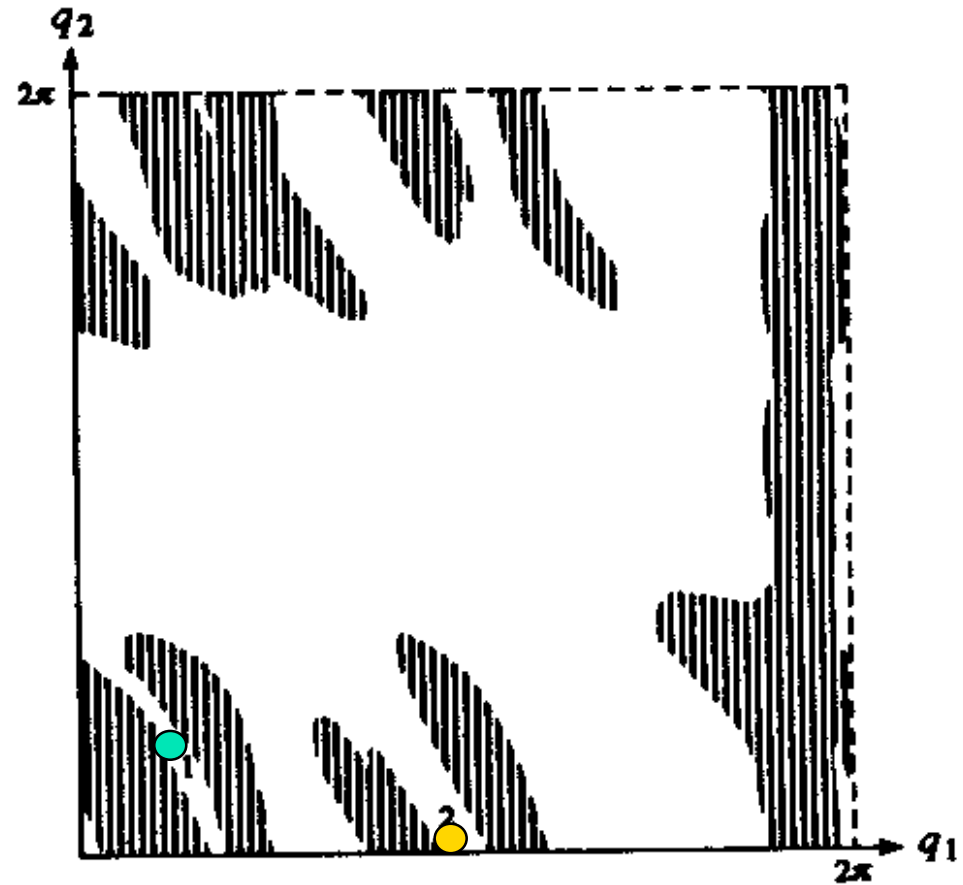
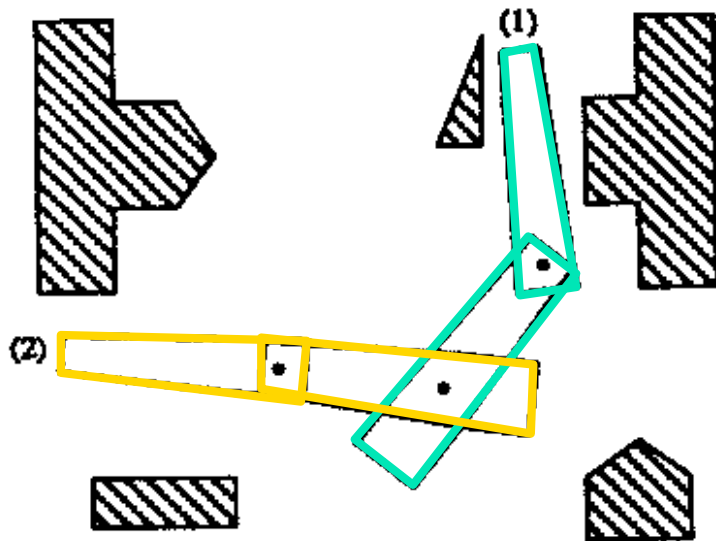
- due tipi di C-ostacoli
 - collisioni con ostacoli
 - auto-collisioni

altre zone proibite sono causate dai fondo corsa ai giunti





Esempi di C-ostacoli



rappresentazione locale



Connessione di C-space

- C è **connesso** se \exists un cammino tra tutte le coppie di configurazioni
- due cammini con gli stessi estremi sono **omotopi** se è possibile deformare con continuità uno nell'altro
- C è **semplicemente connesso** se tutti i cammini tra due configurazioni sono omotopi tra loro
- altrimenti, C è **molteplicemente connesso**
 - esempio: $SO(3)$ è molteplicemente connesso, con due classi di cammini omotopi



Commenti finali

- per calcolare in modo esatto la regione dei C-ostacoli è necessario un **modello algebrico degli ostacoli** nello spazio di lavoro (dati disponibili in CAD)
- spesso sono convenienti **approssimazioni o campionamenti**
- la **collisione** tra robot (nella configurazione q) e ostacoli si valuta nello spazio di lavoro
 - utilizzando eventualmente la **cinematica diretta** del robot articolato
 - con algoritmi di **collision check**
 - software efficienti: **I-Collide** (per poliedri convessi) o **V-Collide**
- **non** tutti i metodi di pianificazione richiedono la **costruzione esplicita** della regione dei C-ostacoli

